



БИООРГАНИЧЕСКАЯ ХИМИЯ

том 13 * № 11 * 1987

УДК 547.96.057

СИНТЕЗ ТЕТРАКОНТАПЕТИДА — ГИПОТЕТИЧЕСКОГО ЭВОЛЮЦИОННОГО ПРЕДШЕСТВЕННИКА КАЛЬЦИЙСВЯЗЫВАЮЩИХ БЕЛКОВ

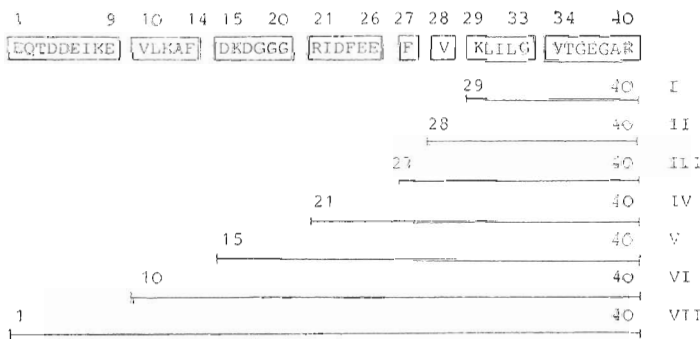
II*. КОНДЕНСАЦИЯ ФРАГМЕНТОВ

*Юнг Р.**, Медведкин В. Н., Митин Ю. В.*

Институт белка Академии наук СССР, Пущино, Московская обл.

Тетраконтапептид получен конденсацией синтезированных ранее фрагментов методом пентафторфениловых эфиров и с помощью карбодиимида с 1-гидроксибензотриазолом. Рацемизация при конденсации фрагментов составляет 1–2%. Деблокирование защищенного тетраконтапептида проведено обработкой трифтормукусной кислотой и фтористым водородом с тиоанизолом. Полученный пептид очищался гель-хроматографией и ВЭЖХ.

В предыдущем сообщении был описан синтез фрагментов (1–9), (10–14), (15–20), (21–26), (29–33), (34–40) тетраконтапептида гипотетического эволюционного предшественника кальцийсвязывающих белков [1]. В настоящей статье дается описание конденсации полученных фрагментов, которая проводилась по схеме



Из использованных для получения 40-членного пептида шести фрагментов два в качестве C-концевого остатка имеют глицин (фрагменты (15–20) и (29–33)), два — глутаминовую кислоту (фрагменты (1–9) и (21–26)), а один (фрагмент (10–14)) — фенилаланин. Таким образом, главной проблемой при конденсации трех из пяти фрагментов была опасность рацемизации. Необходимо было выбрать такое конденсирующее средство и такие условия конденсации, чтобы реакция сопровождалась минимальной рацемизацией.

Поскольку как сами исходные фрагменты, так и продукты их конденсации плохо растворимы, в качестве растворителей мы были вынуждены использовать DMSO, HMPA, DMF и их смеси. Прежде чем проводить конденсацию, мы изучили влияние условий конденсации на оптическую

* Сообщение I см. [1].

** Адрес в настоящее время: Центральный институт генетики и исследований культурных растений, Гатерслебен, ГДР.

Сокращения: DMSO — диметилсульфоксид, DMF — диметилформамид, HMPA — гексаметилтриамид фосфорной кислоты, DCC — N,N'-дициклогексилкарбодиимид, HOBr — 1-гидроксибензотриазол, OHNSu — N-гидроксисульфенимид, TFA — трифтормукусная кислота, TEA — триэтиламина, ClZ — 2-хлорбензилоксикарбонил, Nps — 2-пирофенилсульфенил.

Таблица 1

Конденсация Z-Gly-Ala-OH (0,1 М) и H-Leu-OBu^t (0,1 М)
10 мин при -20° С, 20 мин при 4° С, 90 мин при 20° С

Растворитель	Конденсирующий агент (концентрация, М)	[HOBt], М	Выход Z-Gly-Ala-Leu-OBu ^t , %	Рацемизация, %
CHCl ₃	F-комплекс (0,12)	0	91	4,0
CHCl ₃		0,12	16	4,4
DMF		0	94	9,4
DMSO		0	73	9,6
Диметилацетамид		0	29	10,7
HMPA		0	9	4,4
DMF/HMPA (1:1)		0	61	13,0
		0	62	37,0
		0,12	75	1,1
		0,2	79	0,6
	DCC (0,1)	0,2 *	71	0,7
		0,2 **	83	0,7
	DCC (0,001)	0,0012	21	19,3 ***

* Вместо HOBt использовали HONSu.

** Вместо HOBt использовали N-гидрокси-5-ионборнен-2,3-дикарбоксимид.

*** Карбоксильный и аминокомпонент взяты в концентрации 0,001 М.

чистоту продукта на примере тестового трипептида Изумия Gly-Ala-Leu [2]. Основное внимание было уделено F-комплексу (1 моль DCC и 3 моль пентафторфенола) [3] и DCC с различными добавками [4], так как оба эти метода рекомендованы для конденсации пептидных фрагментов с минимальной опасностью рацемизации. Из полученных нами результатов (табл. 1) видно, что F-комплекс в наших условиях себя не оправдал и что наилучший результат дает DCC с добавкой HOBt.

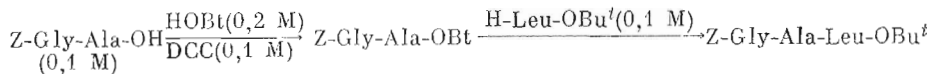
Из табл. 1 также следует, что увеличение количества HOBt дает лучшие результаты и что концентрация реагирующих компонентов имеет очень большое значение. В тех случаях, когда пептид плохо растворяется в выбранном растворителе, целесообразно подобрать другой растворитель, чтобы обеспечить максимальную концентрацию реагентов; разбавление раствора приводит к увеличению степени рацемизации. Аналогичное влияние концентрации реагентов на степень рацемизации было описано для случая использования в качестве добавки HONSu [5]. Для конденсации пептидных фрагментов мы выбрали метод, основанный на предварительной активации (предактивации) карбоксильного компонента с помощью DCC и HOBt. Поскольку в качестве карбоксильного компонента используются сравнительно легко растворимые пептиды, что позволяет работать с их высокими концентрациями, на стадии предактивации уменьшается опасность рацемизации.

Известно, что присутствие солей третичных аминов в реакционной среде увеличивает степень рацемизации даже при использовании в качестве добавки HOBt [6]. Мы также нашли, что при синтезе Z-Gly-Ala-Leu-OBu^t присутствие в растворе лишь 0,5 экв. трифторацетата триэтиламина увеличивает степень рацемизации с 0,6 до 4,4%. Чтобы избежать нежелательного влияния солей триэтиламина, мы вводили в конденсацию свободные аминокомпоненты, которые получали обработкой соответствующих солей триэтиламинов в DMF с последующим осаждением в эфир и промывкой метанолом и эфиrom.

При анализе литературных данных можно сделать вывод, что при конденсации в среде HMPA получаются обычно низкие выходы продуктов конденсации [7, 8]. Мы также нашли, что даже в тщательно очищенном HMPA выход пептида Z-Gly-Ala-Leu-OBu^t падает с увеличением времени предактивации (табл. 2).

Аналогичное явление наблюдалось для пентафторфенилового эфира гексапептида (рис. 1). Из табл. 2 и рис. 1 можно сделать вывод, что,

Влияние времени предактивации на выход и степень рацемизации при реакции



Время предактивации в DMF/HMPA (1 : 4) *, ч	Выход Z-Gly-Ala-Leu -OBu ^t , %	Степень рацемизации, %
0,5	93	5,3
1,0	90	7,5
4,0	86	16,9
8,0	48	27,0
24,0	42	41,0

* Раствор 0,5 ммоль Z-Gly-Ala-OH, 1,0 ммоль HOEt и 0,5 ммоль DCC в 1 мл DMF выдерживали 10 мин при -20°C , 50 мин при 4°C , затем добавляли 4 мл HMPA и выдерживали при 20°C в течение указанного в таблице времени.

Таблица 3

Пентиды, полученные конденсацией фрагментов

Номер пентида	Последовательность	Пептид
I	29—40	Boc-Lys(CIZ)-Leu-Ile-Leu-Gly-Val-Thr(Bzl)-Gly-Glu(OBzI)-Gly-Ala-Arg(Tos)-OBzI
II	28—40	Boc-Val-Lys(CIZ)-Leu-Ile-Leu-Gly-Val-Thr(Bzl)-Gly-Glu(OBzI)-Gly-Ala-Arg(Tos)-OBzI
III	27—40	Boc-Phe-Val-Lys(CIZ)-Leu-Ile-Leu-Gly-Val-Thr(Bzl)-Gly-Glu(OBzI)-Gly-Ala-Arg(Tos)-OBzI
IV	21—40	Boc-Arg(Tos)-Ile-Asp(OBzI)-Phe-Glu(OBzI)-Glu(OBzI)-Phe-Val-Lys(CIZ)-Leu-Ile-Leu-Gly-Val-Thr(Bzl)-Gly-Glu(OBzI)-Gly-Ala-Arg(Tos)-OBzI
V	15—40	Nps-Asp(OBzI)-Lys(Boc)-Asp(OBu ^t)-Gly-Gly-Gly-Arg(Tos)-Ile-Asp(OBzI)-Phe-Glu(OBzI)-Glu(OBzI)-Phe-Val-Lys(CIZ)-Leu-Ile-Leu-Gly-Val-Thr(Bzl)-Gly-Glu(OBzI)-Gly-Ala-Arg(Tos)-OBzI
VI	10—40	Nps-Val-Leu-Lys(CIZ)-Ala-Phe-Asp(OBzI)-Lys(Boc)-Asp(OBu ^t)-Gly-Gly-Gly-Arg(Tos)-Ile-Asp(OBzI)-Phe-Glu(OBzI)-Glu(OBzI)-Phe-Val-Lys(CIZ)-Leu-Ile-Leu-Gly-Val-Thr(Bzl)-Gly-Glu(OBzI)-Gly-Ala-Arg(Tos)-OBzI
VII	1—40	Boc-Glu(OBzI)-Gln-Thr(Bzl)-Asp(OBzI)-Asp(OBzI)-Glu(OBzI)-Ile-Lys(CIZ)-Glu(OBzI)-Val-Leu-Lys(CIZ)-Ala-Phe-Asp(OBzI)-Lys(Boc)-Asp(OBu ^t)-Gly-Gly-Gly-Arg(Tos)-Ile-Asp(OBzI)-Phe-Glu(OBzI)-Glu(OBzI)-Phe-Val-Lys(CIZ)-Leu-Ile-Leu-Gly-Val-Thr(Bzl)-Gly-Glu(OBzI)-Gly-Ala-Arg(Tos)-OBzI

во-первых, предактивацию следует проводить не в HMPA, а в другом растворителе, например в DMF, во-вторых, процесс исчезновения активированного эфира протекает медленно по сравнению с аминолизом, поэтому следующую стадию — конденсацию с аминокомпонентом — можно проводить в HMPA. Руководствуясь полученными результатами, мы проводили соединение фрагментов следующим образом: предактивацию (DCC+HOEt) сравнительно легко растворимого карбоксильного компонента проводили в DMF при максимальной концентрации компонентов; полученный раствор активированного карбоксильного компонента добавляли к раствору аминокомпонента в HMPA.

Контроль с помощью TCX за протеканием реакции конденсации трудно осуществим из-за применяемых растворителей (особенно DMSO и HMPA). В том случае, когда для конденсации использовали пентафторфениловые эфиры, контроль осуществлялся с помощью ИК-спектроскопии (карбонильная полоса сложноэфирной группы в районе $1820-1780 \text{ см}^{-1}$). Чувствительность метода достаточно высока, можно надежно определять концентрацию активированного эфира до $5 \cdot 10^{-4} \text{ М}$, что в нашем случае соответствует более чем 99% превращения. Полнота конденсации во всех

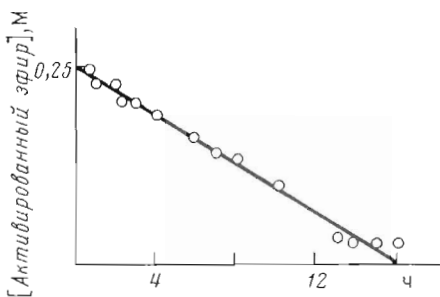


Рис. 1. Изменение концентрации пентафторфенилового эфира Nps-Lys(Boc)-Asp(OBu')-Gly-Gly-Gly-OPfp в HMPA во времени при 30°С (измерено по полосе 1809 см⁻¹ на спектрофотометре Perkin-Elmer 180, США)

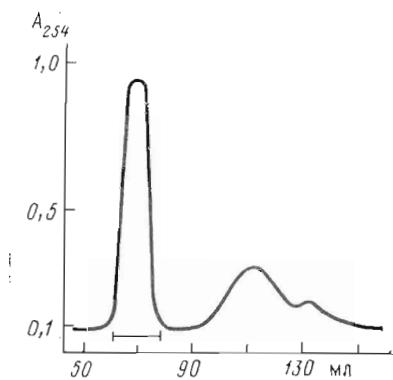


Рис. 2

Рис. 2. Гель-хроматография продукта деблокирования 91 мг тетраконтаапептида (VII) на колонке (1,5×60 см) с сефадексом G-25 (сверхточный) в 0,05 М NH₄HCO₃, pH 8,0, скорость 10 мл/ч

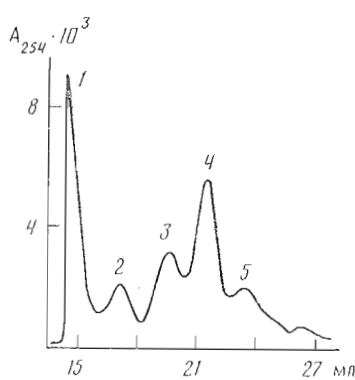


Рис. 3

Рис. 3. ВЭЖХ 20 мг тетраконтаапептида на колонке (7,5×600 мм) Spheroget TSK 2000 SW в 0,05 М NH₄HCO₃, содержащей 1% CH₃COOH, pH 6,8, скорость 1 мл/мин

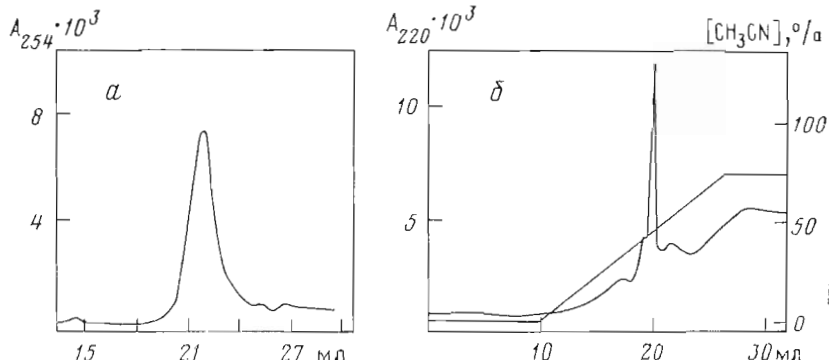


Рис. 4. Аналитическая ВЭЖХ тетраконтаапептида: а – Spheroget TSK 2000 SW (7,5×600 мм), 0,05 М NH₄HCO₃, содержащий 1% CH₃COOH, pH 6,8, скорость 1 мл/мин; б – Ultrasil-octyl 10 мкм (4,5×250 мм), 0,01 М фосфат натрия, pH 6,7, при градиенте ацетонитрила от 0 до 75%, скорость 1 мл/мин

случаях с большой точностью определялась методом дансилирования α -аминогруппы. Этот метод обычно применяют для водорастворимых пептидов, однако мы нашли, что дансилирование можно с успехом вести в смеси хлороформ – трифторметанол – ацетон – триэтиламин (2 : 1 : 0,3 : 0,15) при 50°С. Этот метод позволяет определять содержание аминокомпонента с точностью до 0,01%, т. е. практически вплоть до количественного превращения. Для достижения количественного превращения аминокомпонента реакцию конденсации повторяли несколько раз. Дополнительный контроль за структурой получаемых пептидов давал аминокислотный анализ. Структура пептидов, полученных конденсацией фрагментов, представлена в табл. 3.

Растворимость защищенных пептидов в НМРА

Пептид	Число аминокислотных остатков	Растворимость, мкмоль/мл	Пептид	Число аминокислотных остатков	Растворимость, мкмоль/мл
I	12	500	V	26	40
III	14	90	VI	31	23
IV	20	20	VII	40	15

Интересно, что растворимость синтезируемых пептидов резко падает с ростом цепи от 10 до 20 аминокислотных остатков. Затем при дальнейшем удлинении цепи растворимость снова немного возрастает и далее опять уменьшается (табл. 4).

Как следует из схемы синтеза, фрагмент (27–40) был получен конденсацией фрагментов (29–33) и (34–40) с последующим присоединением валина-28 и фенилаланина-27. Это обусловлено тем, что синтезированный вначале фрагмент (27–33) оказался трудно растворимым, что затруднило надежную конденсацию по схеме (27–33)+(34–40).

Конечный продукт — защищенный тетраконтапептид (VII) — был получен в количестве 0,730 г с выходом 23%, считая на исходный фрагмент (34–40). Низкая растворимость защищенного тетраконтапептида даже в НМРА не позволила применить какие-либо методы очистки, кроме переосаждения. Пептид (VII) был гомогенным по данным ТСХ в системе хлороформ — трифторэтанол — трифтормукусная кислота — гексафторбензол (7,5 : 3 : 0,6 : 4), результаты аминокислотного анализа были вполне удовлетворительны.

Деблокирование защищенного тетраконтапептида (VII) проводилось в два приема. Вначале обрабатывали трифтормукусной кислотой 30 мин при 0° С, затем НF с тиоанизолом 90 мин при 0° С. Длительное выдерживание с НF оказалось необходимым в силу того, что ClZ-группа удалялась гораздо труднее, чем Z-группа. Гель-хроматография продукта деблокирования проводилась на сефадексе G-25 (рис. 2). Затем пептид очищался с помощью ВЭЖХ на колонке SpheroGel TSK 200 SW (рис. 3). Аминокислотный анализ полученного пептида соответствует его структуре. Для дополнительного подтверждения чистоты полученного тетраконтапептида были определены аминогруппы (метод даниэлизации) и обнаружены только α -NH₂-группа глутаминовой кислоты и ε -NH₂-группы лизина. Было также осуществлено секвенирование пептида по Эдману, проведено 11 шагов, полученный результат соответствует ожидаемой структуре.

Поскольку при активировании фрагментов (1–9), (10–14) и (21–26) возможна рацемизация С-końцевых аминокислот, мы провели газохроматографическое определение содержания D-изомеров в гидролизате тетраконтапептида, используя хиральную фазу на основе *n*-бутиламида L-валина [9]. При этом было найдено, что гидролизат содержит 6,6% D-Phe и 3,4% D-Glu. Однако следует отметить, что параллельное определение D-изомеров в гидролизате природного кальцийсвязывающего белка (парвальбумина карпа) дало 4,3% D-Phe и 3,1% D-Glu. Из этого следует, что частичная рацемизация происходит при кислотном гидролизе белка. Из полученных результатов можно сделать вывод, что рацемизация при конденсации фрагментов составляла 1–2%.

Экспериментальная часть

Аминокислотный анализ проводили на анализаторе Durrum-D500 (США), удельное вращение измеряли на поляриметре Perkin – Elmer 141A (США), газохроматографический анализ энантиомеров аминокислот проводили на хроматографе Hewlett-Packard 5710A (США), секвенирование нептидов осуществляли на анализаторе Rank-Hilger APS-240 (твердодиффузный метод).

ВЭЖХ проводили на хроматографе Altex 332 с колонкой SpheroGel TSK 2000 SW и на хроматографе Varian-UV 254 с колонкой Ultrasil-octyl, ТСХ — на пластинках Silufol UV 254 (ЧССР) и Merck 60F254 (ФРГ) в следующих системах растворителей:

хлороформ – трифторэтанол – трифторуксусная кислота – гексафторбензол, 7,5 : 2,5 : 0,2 : 4 (А), 7,5 : 3 : 0,6 : 4 (Б), 7,5 : 2,5 : 0,8 : 3 (В).

1. *Boc-Lys(ClZ)-Leu-Ile-Leu-Gly-OPfp*. Раствор 6,50 г (8,8 ммоль) *Boc-Lys(ClZ)-Leu-Ile-Leu-Gly-OH* (фрагмент (29–33) [1]) и 1,77 г (9,6 ммоль) пентафторфенола в 30 мл DMF охлаждали до -20°C и добавляли 1,98 г (9,6 ммоль) DCC. Смесь перемешивали 3 ч при 4°C , отфильтровывали N,N'-дициклогексидмоучевину, фильтрат выдерживали 15 ч при -20°C , снова фильтровали и затем отгоняли DMF в вакууме. Продукт дважды пересаждали из дioxана в эфир. Выход 7,2 г (92%), R_f 0,83 (А), $\text{ИК}_{\text{с=0}}$ 1806 cm^{-1} .

2. *Пептид (I)*. Растворяли 2,43 г (2 ммоль) *Boc-Val-Thr(BzI)-Gly-Glu(OBzl)-Gly-Ala-Arg(Tos)-OBzI* (фрагмент (34–40) [1]) в 10 мл TFA при 0°C , выдерживали 15 мин при 20°C , затем отгоняли TFA в вакууме, остаток обрабатывали эфиром. Полученный продукт растворяли в 10 мл DMF, добавляли 0,42 мл TEA, осаждали в эфир, осадок промывали метанолом, эфиром, сушили в вакууме, затем растворяли в 10 мл DMF и к полученному раствору добавляли 2,15 г (2,2 ммоль) *Boc-Lys(ClZ)-Leu-Ile-Leu-Gly-OPfp*, 1 мл DMSO и 10 мл DMF. Через 30 мин в смесь добавляли 0,1 мл TEA, перемешивали еще 30 мин и выливали в 10% KHSO_4 , охлажденный до 0°C . Осадок дважды пересаждали из DMF в эфир и затем растворяли в горячей смеси этанол – вода (95 : 5). При охлаждении выпадал пептид. Операцию повторяли еще раз. Выход пептида (I) 2,82 г (74%), R_f 0,38 (А), $[\alpha]_D^{22} -8,1^{\circ}$ (с 1, HMPA). Аминокислотный анализ: Thr 0,89 (1), Glu 0,99 (1), Gly 3,10 (3); Ala 1,02 (1), Val 1,02 (1), Leu 1,96 (2), Ile 0,98 (1), Lys 1,03 (1), Arg 1,01 (1).

3. *Пептид (II)*. Растворяли 1,54 г (0,81 ммоль) соединения (I) в 10 мл TFA при 0°C , выдерживали 15 мин при 20°C , затем отгоняли TFA в вакууме, осадок обрабатывали эфиром. Полученный продукт растворяли в 10 мл смеси DMF – HMPA – DMSO (1 : 1 : 0,2), добавляли 0,17 мл (1,21 ммоль) TEA и осаждали в эфир. Осадок промывали эфиром, сушили и растворяли в 10 мл смеси DMF – HMPA – DMSO (1 : 1 : 0,2). К полученному раствору добавляли 0,31 г (0,81 ммоль) *Boc-Val-OPfp* [3], а через 30 мин еще 0,62 г (1,62 ммоль) *Boc-Val-OPfp* и 50 мкл TEA, перемешивали 8 ч и осаждали в смесь метанол – эфир (1 : 1). Осадок промывали метанолом и эфиром и затем дважды пересаждали из смеси DMF – HMPA – DMSO (1 : 1 : 0,2), в смесь метанол – эфир (1 : 1). Выход пептида (II) 1,52 г (94%), R_f 0,40 (А), $[\alpha]_D^{22} -8,0^{\circ}$ (с 1, HMPA). Аминокислотный анализ: Thr 0,89 (1), Glu 0,98 (1), Gly 3,07 (3), Ala 1,05 (1), Val 2,06 (2), Leu 1,98 (2), Ile 0,98 (1), Lys 1,03 (1), Arg 1,01 (1).

4. *Пептид (III)*. Синтез проводили аналогично предыдущему, исходя из 3,41 г (1,7 ммоль) соединения (II) и 2,20 г (5,1 ммоль) *Boc-Phe-OPfp* [3] в 60 мл смеси DMF – HMPA – DMSO (1 : 1 : 0,2). Выход пептида (III) 3,49 г (95%), R_f 0,37 (А), $[\alpha]_D^{22} -7,9^{\circ}$ (с 1, HMPA). Аминокислотный анализ: Thr 0,95 (1), Glu 1,02 (1), Gly 3,01 (3), Ala 1,01 (1), Val 2,03 (2), Leu 1,99 (2), Ile 0,99 (1), Phe 1,01 (1), Lys 1,02 (1), Arg 0,98 (1).

5. *Пептид (IV)*. а) Трифторацетат аминокомпонента, приготовленный из 0,487 г (0,255 ммоль) соединения (III), как описано для соединения (II), растворяли в 2,5 мл HMPA, добавляли 53 мкл (0,38 ммоль) TEA и осаждали в эфир. Осадок промывали последовательно метанолом, водой, метанолом и эфиром, сушили и растворяли в 2,5 мл HMPA (раствор А).

б) Растворяли 0,450 г (0,338 ммоль) *Boc-Arg(Tos)-Ile-Asp(OBzl)-Phe-Glu(OBzl)-Glu(OBzl)-OP* (фрагмент (21–26) [1] и 0,230 г (1,690 ммоль) HOBt в 2,5 мл DMF, охлаждали до -20°C и к раствору добавляли 0,083 г (0,405 ммоль) DCC. Раствор выдерживали 30 мин при 4°C и затем его приливали к раствору А, охлажденному до 4°C . Через 1 ч реакционную смесь осаждали в эфир, осадок трижды промывали метанолом, потом эфиром и высушивали в вакууме. Для повторной конденсации использовали полученный осадок, а в реакцию предактивации брали 0,300 г (0,225 ммоль) гексапептида, 0,150 г (1,10 ммоль) HOBt и 0,055 г (0,270 ммоль) DCC в 2,5 мл DMF. В общей сложности конденсацию проводили 3 раза. Выход пептида (IV) 0,680 г (89%), R_f 0,39 (А), $[\alpha]_D^{22} -7,0^{\circ}$ (с 1, HMPA). Аминокислотный анализ: Asp 1,01 (1), Thr 0,92 (1), Glu 3,40 (3); Ala 0,99 (1), Val 2,02 (2), Leu 1,98 (2), Gly 3,01 (3), Ile 1,99 (2), Phe 2,01 (2), Lys 0,99 (1), Arg 2,00 (2).

6. *Nps-Asp(OBzl)-Lys(Boc)-Asp(OBu^t)-Gly-Gly-Gly-OPfp*. Синтез проводили аналогично синтезу 1, исходя из 9,50 г (10 ммоль) *Nps-Asp(OBzl)-Lys(Boc)-Asp(OBu^t)-Gly-Gly-Gly-OH* (фрагмент (15–20) [1]), 2,21 г (12 ммоль) пентафторфенола и 2,47 г (12 ммоль) DCC. Продукт реакции дважды пересаждали из DMF в эфир. Выход пентафторфенилового эфира 9,16 г (82%), R_f 0,65 (А), $[\alpha]_D^{22} -14,4^{\circ}$ (с 1, DMF).

7. *Пептид (V)*. Трифторацетат аминокомпонента, приготовленного из 0,673 г (0,2 ммоль) соединения (IV), как описано в синтезе 2, растворяли в 10 мл HMPA, добавляли 56 мкл (0,4 ммоль) TEA, осаждали в эфир, осадок трижды промывали метанолом, затем эфиром и сушили в вакууме. Полученный аминокомпонент растворяли в 10 мл HMPA и к раствору добавляли 0,223 г (0,2 ммоль) пентафторфенилового эфира, полученного в синтезе 6. Спустя 30 мин добавляли еще 10 мкл TEA и 0,111 г (0,1 ммоль) пентафторфенилового эфира, через 3 ч добавляли еще 0,111 г (0,1 ммоль) пентафторфенилового эфира и через 6 ч раствор выливали в эфир. Выпавший продукт трижды промывали метанолом, затем эфиром и сушили в вакууме. Выход пептида (V) 0,74 г (88%), R_f 0,27 (А), $[\alpha]_D^{22} -2,0^{\circ}$ (с 1, HMPA). Аминокислотный анализ: Asp 2,85 (3), Thr 0,87 (1), Glu 3,09 (3), Gly 6,12 (6), Ala 1,02 (1), Val 2,07 (2), Leu 1,99 (2), Ile 1,98 (2), Phe 2,04 (2), Lys 1,99 (2), Arg 1,98 (2).

8. *Нентид (VI).* а) Аминокомпонент получали из 0,604 г (0,144 ммоль) соединения (V) и 0,28 г (3,6 ммоль) тиомочевины в 50 мл смеси хлороформ — трифторэтанол — уксусная кислота (2 : 1 : 1). Через 30 мин растворители удаляли в вакууме, остаток промывали последовательно эфиrom, метанолом, водой, метанолом и эфиrom. Полученный продукт растворяли в 6 мл НМРА, добавляли 30 мкг (0,217 ммоль) ТЕА, осаждали в эфир, осадок промывали метанолом, водой, метанолом, эфиrom, сушили в вакууме.

б) Растворяли 0,185 г (0,206 ммоль) Nps-Val-Leu-Lys(ClZ)-Ala-Phe-OH (фрагмент (10—14) [1]) и 0,139 г (1,03 ммоль) НОВт в 1 мл DMF, охлаждали до -20°C и добавляли 0,052 г (0,250 ммоль) DCC. Далее поступали как описано в синтезе 5б. Для повторной конденсации (проводили 2 раза) брали 0,123 г (0,137 ммоль) Nps-пентапептида, 0,093 г (0,685 ммоль) НОВт и 0,034 г (0,165 ммоль) DCC. Осажденный в эфир продукт выдерживали 24 ч при -20°C , затем центрифугировали. Выход пептида (VI) 0,52 г (77%); R_f 0,26 (A), 0,37 (B); $[\alpha]_D^{22} -9,5^{\circ}$ (с 1, НМРА). Аминокислотный анализ: Asp 3,03 (3), Thr 0,88 (1), Glu 3,06 (3), Gly 6,03 (6), Ala 2,03 (2), Val 2,97 (3), Leu 2,99 (3), Ile 1,98 (2), Phe 3,01 (3), Lys 2,99 (3), Arg 2,03 (2).

9. *Нентид (VII).* а) Аминокомпонент получали из соединения (VI) аналогично синтезу 8а; 0,200 г (41,6 мкмоль) аминокомпонента растворяли в 2,5 мл НМРА.

б) В реакцию предактивации брали 0,120 г (62 мкмоль) Boc-Glu(OBzI)-Gln-Thr(BzI)-Asp(OBzI)-Asp(OBzI)-Glu(OBzI)-Phe-Lys(ClZ)-Glu(OBzI)-OH (фрагмент (1—9) [1]), 0,043 г (310 мкмоль) НОВт и 0,016 г (75 мкмоль) DCC в 0,8 мл DMF.

Конденсацию повторяли еще дважды, как описано в синтезе 5б, беря 0,080 г (42 мкмоль) ионопептида, 0,029 г (200 мкмоль) НОВт и 0,010 г (50 мкмоль) DCC. После обработки, указанной в синтезе 5б, продукт суспендировали в DMF, перемешивали при 40°C 1 ч, осаждали в метанол и центрифугировали. Осадок растворяли в смеси хлороформ — трифторэтанол (2 : 1), добавляли DMF, упаривали в вакууме до состояния твердого геля, растирали с метанолом, центрифугировали, осадок промывали метанолом и эфиrom. Выход пептида (VII) 0,160 г (58%), R_f 0,25 (Б), $[\alpha]_D^{22} -8,0^{\circ}$ (с 1, НМРА). Аминокислотный анализ: Asp 4,91 (5), Thr 1,75 (2), Glx 7,40 (7), Gly 6,07 (6), Ala 2,02 (2), Val 3,04 (3), Leu 3,01 (3), Ile 3,02 (3), Phe 3,06 (3), Lys 4,05 (4), Arg 1,99 (2).

10. *Деблокирование пептида (VII) и очистка тетраконтаапептида.* Растворяли 91 мг (13,7 мкмоля) соединения (VII) 1 мл TFA, выдерживали 30 мин, отгоняли TFA в вакууме, остаток растирали в эфиrom, отфильтровывали и затем обрабатывали 90 мин при 0°C 5 мл HF с 0,5 мл тиоанизола. HF удаляли в вакууме, остаток промывали эфиrom, заливали 1 М NH_4HCO_3 и хлороформом и встраивали до полного растворения осадка. Водную фазу отделяли, хроматографировали на колонке с сепадексом G-25 (рис. 2). После лиофилизации получали 57 мг (94%) пептида. Для дальнейшей очистки 20 мг пептида хроматографировали на колонке (7,5×600 мм) SpheroGel TSK 2000 SW (рис. 3). После лиофилизации фракции 4 получили 7,1 г тетраконтаапептида. По данным ВЭЖХ на SpheroGel TSK 2000 SW, Ultrasil-AX (ионобменная хроматография), Ultrasil-octyl (обратимо-фазовая хроматография) (рис. 4), пептид достаточно чист и может быть использован для определения его основных свойств. Аминокислотный анализ: Asp 4,89 (5), Thr 1,71 (2), Glx 7,21 (7), Gly 6,09 (6), Ala 2,01 (2), Val 3,10 (3), Leu 2,98 (3), Ile 3,00 (3), Phe 2,97 (3), Lys 3,96 (4), Arg 2,01 (2).

ЛИТЕРАТУРА

- Гречишко В. С., Медведкин В. Н., Заневалова Н. П., Юнг Р., Митин Ю. В. // Биоорг. химия. 1987. Т. 13. № 11. С. 1465—1473.
- Izumiya N., Muraoka M., Aoyagi H. // Bull. Chem. Soc. Japan. 1971. V. 44. № 12. P. 3391—3395.
- Kisfaludy L., Löw M., Nyéki O., Szirtes T., Schön I. // Lieb. Ann. Chem. 1973. № 9. P. 1421—1429.
- König W., Geiger R. // Chem. Ber. 1970. V. 103. № 3. P. 788—798.
- Waki M., Minematsu J., Izumiya N. // Peptide Chemistry 1978. Osaka, 1979. P. 49.
- Kitada C., Fujino M. // Chem. Pharm. Bull. 1978. V. 26. № 2. P. 585—590.
- Вольнина О. М., Дешко Т. Н., Михалева И. И., Иванов В. Т. // Биоорганическая химия. 1980. Т. 6. № 8. С. 1155—1162.
- Galpin I. G., Hancock F. E., Hand B. K., Jackson A. C., Kenner G. W., Ramage R., Singh B., Tyson R. G. // Tetrahedron. 1979. V. 35. № 23. P. 2779—2783.
- Saeed I., Sandra P., Verzele M. // J. Chromatogr. 1979. V. 186. P. 611—618.

Поступила в редакцию 18.XI.1986

После доработки 2.IV.1987

SYNTHESIS OF A TETRACONTAPEPTIDE, HYPOTHETICAL ANCESTOR OF CALCIUM-BINDING PROTEINS.

II. CONDENSATION OF FRAGMENTS

JUNG R., MEDVEDKIN V. N., MITIN Yu. V.

Institute of Protein Research, Academy of Sciences
of the USSR, Pushchino Moscow Region

A tetracontapeptide was obtained by condensation of synthetic fragments (see the preceding paper) with the use of pentafluorophenyl esters as well as with carbodiimide and hydroxybenzotriazole. Racemization during fragment condensation was 1—2 per cent. Deblocking of the protected tetracontapeptide was carried out by treatment with trifluoroacetic acid and hydrogen fluoride with thioanisole. The obtained peptide was purified by gel-chromatography and HPLC.